

1. Grundlagen

1.1. Einheiten

SI Einheiten wegen Energie nicht taugenshalten
in der Teilchenphysik nicht praktisch

typische Dimensionen $< 10 \text{ fm} = 10^{-14} \text{ m}$

Bildungsenergie 1 GeV Def. eV

Massen von Teilchen $m c^2$ $100 \text{ GeV} - 1000 \text{ GeV}$

schwerstes Quark $m_f c^2 = 174 \text{ GeV}$

etwa wie schwerer Atomkern $^{208} \text{Pb}$ 194 GeV

Pulse und Dimensionen aufzulösen

$$\hbar c = 1240 \text{ GeV} \cdot \text{fm}$$

$$p c = \hbar c / \lambda = 1240 \text{ GeV fm} / (1-10 \text{ fm}) \approx 100-1000 \text{ GeV}$$

\Rightarrow Energie und Impuls haben 1 GeV - 10 GeV

Massen: $m c^2 \approx \text{GeV}$

Zeiten: hängt von Problem ab, oft praktisch in $\text{fm}/c \leftarrow$ Zeit wird lediglich best. Distanz $\stackrel{2,3,1 \text{ fm}}{\text{verdoppelt}}$

$$1 \text{ fm}/c = 3.33 \cdot 10^{-24} \text{ s}$$

Elektrische Ladung: Feinstrukturkonstante

$$\alpha = \frac{e^2}{4\pi\epsilon_0 \hbar c} = \frac{1}{137.04}$$

$$\text{mit } \hbar c = 197 \text{ GeV fm } \frac{e^2}{4\pi\epsilon_0} = 1.44 \text{ GeV fm} \equiv "e^2"$$

1.2. Relativistische Kinematik

für spezielle Relativitätstheorie, siehe PEP 112 und PTP 112/3 - Lorentztransformation,
Äquivalenz Masse-Energie-Puls

in der Teilchenphysik wichtig: 4-Vektoren
die Größe $A \equiv A_\mu = (A_0, \vec{A})$ ist ein 4er-Vektor,
wenn sie sich unter Lorentz-Transformation
transformiert wie Orts-Zit 4er-Vektor (ct, \vec{r})

Skalarprodukt von 2 4er Vektoren A und B

$$A \cdot B = \sum_{\mu, \nu=0}^3 g_{\mu\nu} A_\mu B_\nu = A_0 B_0 - \vec{A} \cdot \vec{B}$$

mit $g_{00}=1$ $g_{ii}=-1$ ($i=1, 2, 3$) und $g_{\mu\nu}=0$ ($\mu \neq \nu$)

dieses Skalarprodukt ist ein "Lorentzskalar"
invariant unter einer Lorentztransformation

4er Impuls $p = (E/c, \vec{p})$

4er Strom $j = (c\rho, \vec{j}) \quad \dots$

1.3 Fermi's Goldene Regel und Phaserraum

siehe Eucle PTP4 Berechnung Übergangsrate von Zustand α nach Zustand β basierend auf Störungstheorie. WW die für Übergang zuständig ist, ist schwach $H = H_0 + H_{\text{int}}$ so daß α und β in Basis von Eigenfunktionen von H_0 expandiert werden können.

$$W_{\alpha \beta} = \frac{dP}{dt} = \frac{2\pi}{\hbar} \left| \underbrace{\langle \psi_{\beta} | H_{\text{int}} | \psi_{\alpha} \rangle}_{\text{Matrixelement v. Hint}} \right|^2 g(\epsilon) \quad)$$

Matrixelement v. Hint Zustandsdichte
im Endzustand

- "Fermi's Goldene Regel" (erfunden von Dirac)

$g(\epsilon)$: Anzahl der Endzustände pro Energieintervall im 6-dim Phaserraum (x, y, z, p_x, p_y, p_z) werden wegen Unschärferelation Punkte durch Volumina $h^3 = (2\pi\hbar)^3$ ersetzt

1 Dimension: für Positionen zwischen x und $x+L$ und Impulsen zwischen p_x und $p_x + p$ kann die Fläche Lp mit $H = LP/(2\pi\hbar)$ Zustände gefüllt werden, damit wird $g(\epsilon) = \frac{dH}{d\epsilon} = 2 \frac{dM}{dp} \frac{dp}{d\epsilon} = \frac{L}{2\pi\hbar} \sqrt{\frac{m}{2\epsilon}}$ mittlerweise für jedes ϵ 2 entartete Zustände mit p und $-p$

$$\text{3 Dimensionen: } H = \frac{1}{(2\pi\hbar)^3} \int d^3x d^3p = \frac{V}{(2\pi\hbar)^3} S p^2 dp d\Omega$$

$$\text{mit } E^2 = (pc)^2 + (mc^2)^2 \Rightarrow H = \frac{V 4\pi}{(2\pi\hbar)^3} \int p^2 \frac{E}{pc^2} dE \quad \left[\frac{\partial H}{\partial E} = \frac{VEP}{2\pi^2 \hbar^3 c^2} \right]$$

"Ein Teilchenphaserraum"

2 Teilchen in 3 Dim: mit Volumen "Hyperbol"

$p = p_1 + p_2$ (im cui $p_1^2 = p_2^2$) und Energie $E = E_1 + E_2$
Anzahl von Zuständen für 1 Teilchen ab Dichte unterschiedlich wegen

$$S_2 = \frac{dN_2}{dE} = \frac{V}{(2\pi\hbar)^3 c^2} \frac{E_1 E_2 p_1}{E_1 + E_2} \int d\Omega,$$

Übrigens: am Ende fällt V immer wegen entsprechender Bewegung der Wellenfunktion heraus.
bei entarteten Zuständen mit Gartausprach multiplizieren

1.4. Reaktionsrate

z.B. Rutherfordstreuung (elastisch) $\alpha + Au \rightarrow \alpha + Au$
Rate von Ereignissen gegeben durch einfallenden Teilchenanz., Anzahl von Strukturen und Wirkungsquerschnitt σ [Fläche $[cm^2]$] (PEP3, PTP1/2)

nach einer typischen Länge λ passiert Streuung

$$\lambda = \frac{1}{n \cdot \sigma} \text{ wenn Strukturen Dichte } n \text{ haben}$$

↪ mittlere freie Weglänge, vernachlässigt Bewegung der Strukturen

Wahrscheinlichkeit, dass einfallendes Teilchen gestoppt wird $P = 1 - \exp(-x/\lambda)$ und für $x \ll \lambda$ ("dünnes Target") $P \approx \frac{x}{\lambda} = \underbrace{\sigma \cdot n \cdot x}_{N_t}$

N_t = Flächendichte von Strukturen

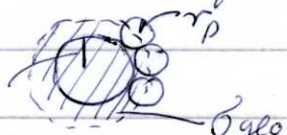
$$\text{Strukturrate } R \left[\frac{1}{s} \right] = N_b \left[\frac{1}{s} \right] \cdot N_t \left[\frac{1}{\text{cm}^2} \right] \cdot \sigma \left[\text{cm}^2 \right]$$

σ kann generell für alle möglichen Prozesse definiert werden: elastische o. inelastische Streuung, Absorption, Reaktion $A + B \rightarrow C + D + E \dots$. Wahrscheinlichkeiten addieren sich zu "totaler Wirkungsquerschnitt"

$\sigma_{\text{tot}} = \sigma_{\text{el}} + \sigma_{\text{inel}} + \sigma_{\text{abs}} + \dots$ σ_j partielle Wirkungsqu. typischer ist Wirkungsquerschnitt winkelabhängig d.h. betrachtet $d\sigma/d\Omega$ oder $d\sigma/d\Omega$ bzw. für inelastische Prozesse doppelt differentialibel $d^2\sigma/dE d\Omega$

Skala für Wirkungsquerschnitt gegeben durch "geometrischen Wirkungsquerschnitt" besonders sinnvoll, wenn Reichweite der Wechselwirkung kurz und Stoßpartner endliche Ausdehnung haben.

Targetteilchen mit Radius r_t und Projektil mit r_p : $\sigma_{\text{geo}} = \pi (r_p + r_t)^2$



Wahrscheinlichkeit für "Treffer" ist Bruchteil der Targetfläche die durch Strukturkreis mit je physikaliger Fläche σ_{geo} belegt ist

z.B. Proton-Proton-Kollisionen: $r_p \approx 0.8 \text{ fm}$
 $\sigma_{\text{geo}} = 8 \text{ fm}^2 = 80 \text{ mb}$ mit Dimension $1 \text{ b} = 10^{-24} \text{ cm}^2 = 100 \text{ fm}^2$
 vgl. typischer pp Wirkungsquerschnitt bei $p \approx 10 \text{ GeV}$
 $\sigma_{\text{tot}} = \sigma_{\text{el}} + \sigma_{\text{inel}} = 40 \text{ mb}$ (davon $\sigma_{\text{inel}} \approx 30 \text{ mb}$)

d.h. Wahrscheinlichkeit für pp-Streuung ist von Größeordnung 1 wenn Protonen sich treffen

für Atomkerne: $r_A \approx 1.2 \text{ fm} \cdot A^{1/3}$ Massenzahl
 Blei - Blei $\delta_{\text{geo}} \approx 6.35 \text{ b}$

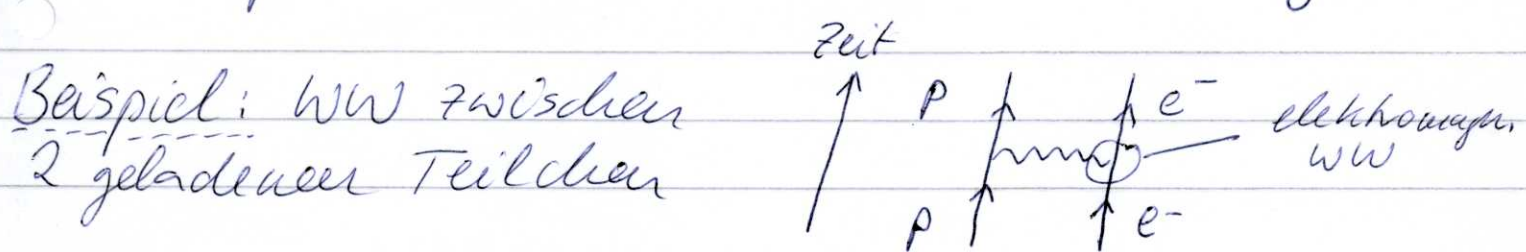
für spezifischen "exklusiven" Endzustand ist Wirkungsquerschnitt oft viel kleiner

z.B. $p + \bar{p} \rightarrow t + \bar{t} + X$ bei $E_{\text{cm}} = 1.8 \text{ TeV}$ $\delta_{t\bar{t}} \approx 5 \text{ pb}$
 Antimaterie Top- und Antitop-Quarks 10 Größenordn.
 unterdrückt

1.5. Feynman Diagramme

In den 1940ern von R. Feynman entwickelte elegante Methode, um Übergänge und WW

- bildhaft eindeutig darstellen und
 - mit Bildern (Feynman Diagrammen) klare mathematische Regeln (Feynman Regeln) zu verbinden, um Wirkungsquerschnitte zu berechnen (relativistische Quantenfeldtheorie)
- hier hauptsächlich bildliche Darstellung



(oft auch Zeit \rightarrow)

Regeln, Bild zu erstellen:

- "reelle Teilchen" dargestellt durch Strahlen in pos. Zeitrichtung (von - unendlich nach + unendlich) reell: $p^2 = E^2 - \vec{p}^2 = m^2$
- Antiteilchen: Strahlen in neg. Zeitrichtung

- "virtuelle Teilchen" dargestellt durch Segmente (Linien die im Diagramm beginnen und enden) $p^2 = E^2 - \vec{p}^2 \neq m^2$, möglich für Zeit von Δt wegen $\Delta E \cdot \Delta t \geq \hbar/2$

für masselose Teilchen wie Photonen

$$p_\gamma = (\omega, \vec{k}) \text{ reelles Photon } p_\gamma^2 = \omega^2 - \vec{k}^2 = 0$$

$$\text{virtuelles Photon } p_f^2 = \omega^2 - \vec{k}^2 \neq 0$$

je nach Vorzeichen raumantisches oder zeitantisches Photon

- Fermionen: gerade Linien WW

Bosonen: Wellenlinie zu Photon em
gestrichelte Linie --- W, Z-Boson schwach
Spirale mm Gluon stark

- Punkte an denen Linien zusammenkommen (3 oder mehr) "Vertex"; Vertex und aufkommende Linien beschreiben Absorption o. Emission eines Teilchens; an jedem Vertex sind Ladung, Gugil, Impuls erhalten

- Linien beschreiben Propagation eines Teilchens, seine Quantitäten Beurteilung:

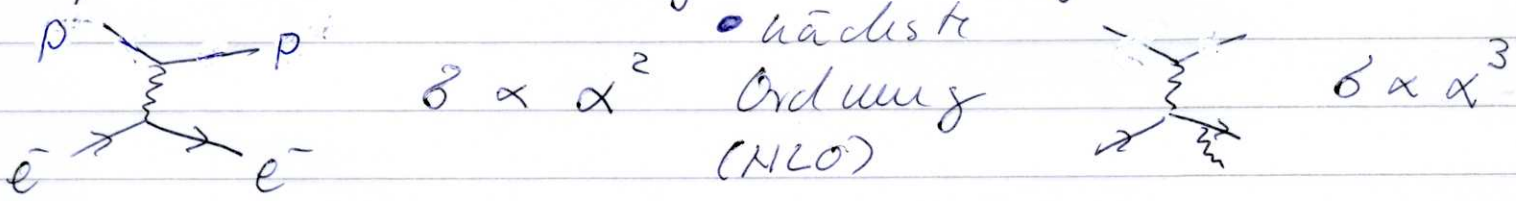
- jede Vertex ist charakterisiert durch eine Kopplungskonstante je nach Art der WW, z.B. $\alpha = \frac{1}{137}$ für elektromagnetische WW

Übergangsmatrixelement $\propto V_\alpha$ fi jeden Vertex
Wirkungsquerschnitt \propto Übergangs wahrscheinl. $\propto \alpha^2$ fi jeden Vertex

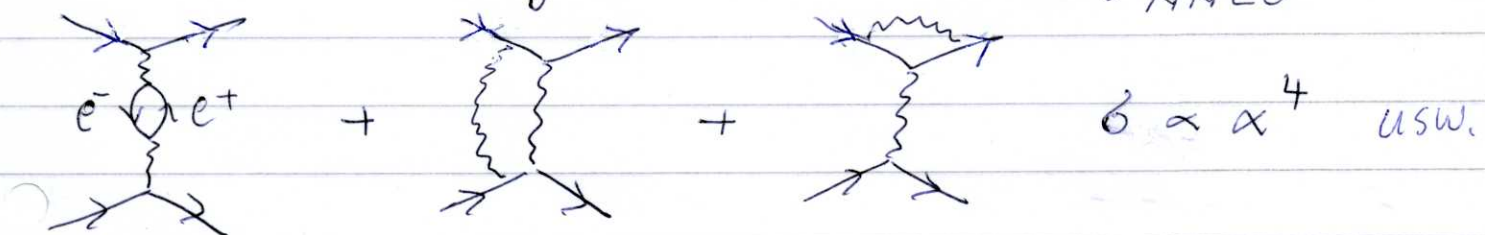
- berechne Wahrscheinlichkeit nach folgendem Rezept $P \propto |1\langle 1\rangle|^2$, Linien, die Teilchen darstellen \leftrightarrow Wellenfunktion, Vertex \leftrightarrow Kopplungskonstante, Segmente, die virtuelle Teilchen darstellen \leftrightarrow Propagator; Beitrag zum Matrixelement $\frac{1}{m^2 + q^2}$ q^2 4-or Impulsübertrag (fi Bosonen)

Elektron-Proton-Streuung:

- führende Ordnung ("leading order")



- nächste Ordnung (next to leading order) NLO



1.6 Wechselwirkung von Teilchen u. Materie

geladene Teilchen ionisieren: das E-Feld einer bewegten Ladung zieht Kraft auf gebundene Elektronen aus, überträgt Impuls. Integriert über Elektronen in verschiedenem Abstand (transversal) zu Teilchen ergibt Energieverlust des geladenen Teilchens

$$-\frac{dE}{dx} = \frac{n 4\pi z^2 e^4}{mec^2 \beta^2} \left(\ln \frac{2mc^2 \beta^2 \gamma^2}{I} - \beta^2 \right)$$

"Bethe-Block Formel" Ableitung z.B. Skript

$-dE$ ist Energie, die über Distanz dx verloren wird wenn Teilchen mit Ladung ze und Geschwindigkeit β durch Medium mit Elektronendichte n propagiert. $mec^2 = 0.511 \text{ MeV}$

$n = \frac{g_{\text{ZNA}}}{A}$ Ionisationsenergie $I \approx (10z \pm 1) \text{ eV}$ für $z \geq 6$ dazu gibt es detaillierte Korrekturen, die aber quantitativ nicht ändern.

Energieabhängigkeit:

Abb. 1-1

- bei kleinen β Abfall von $dE/dx \propto \beta^{-2}$
- breites Minimum bei $\beta_J = \frac{pc}{m_0 c^2} \approx 3-3.5$
- dann logarithmischer Anstieg
(korrektur relativ zu Bethe-Blockl formel wegen
Polarisation des Mediums, Lorentzkontraktion
des E-Feldes)

Teilchen mit $\beta_J \approx 3$ "minimal ionisierend", ver-
ursacht $1.2-1.8 \text{ ReV/g/cm}^2 \leftarrow$ sehr Skala
für höhere Energie sehr moderater Anstieg ($\leq 50\%$)

für Elektronen höher Energie überwiegt ein anderer
Prozess: im Medium wird Elektron im Coulomb-
feld eines Kerns, an dem es vorbeifliegt, ab-
schleunigt und erzielt Bremsstrahlung

$$\frac{dE}{dx_{Br}} = \frac{E}{X_0}$$

X_0 charakteristische Länge
über die Energie auf
geht abfällt "Strahlungslänge"

$$X_0(C) = 18.8 \text{ cm} \quad X_0(Pb) = 0.56 \text{ cm}$$

dominante für Energien $> 580 \text{ ReV/Z}$

für Protonen höher Energie dominiert starke
WW über elektromagnetische WW sobald es energie-
tisch möglich ist, Pionen zu produzieren
(Pionen: leidteste Hadronen $m_\pi c^2 \approx 140 \text{ ReV}$)

$$p + p \rightarrow p + p + \pi \quad E_{cm} \geq 2m_p c^2 + m_\pi c^2$$

für stationäres Target ab $T = 280 \text{ ReV}$ möglich

bei noch höheren Energien $p+p \rightarrow p+p + n\pi + \dots$
 $\delta \approx \delta_{\text{inel}} \quad 30 \text{ mb bei } 10 \text{ GeV}, 80 \text{ mb bei } 10 \text{ TeV}$

das selbe passiert für alle Teilchen, die stark wechselwirken (Hadronen).

Konsequenz: produzierte Pionen (etc.) wechselwirken mit anderen Nukleonen stark und produzieren mehr Pionen \rightarrow Bildung eines "hadronischen Schauers" bestehend aus vielen Nukleonen, Pionen, ...

räumliche Ausdehnung z.B. in Kohlenstoff
 2.5 m

Weglänge bevor starke WW passiert $\lambda_{\text{int}} = \frac{1}{\delta_A \delta_{NA}}$

$$p+C \quad \rho_C = 2.3 \text{ g/cm}^3 \approx 1.15 \cdot 10^{23} \text{ Atome/cm}^3$$

$$\delta_{\text{geo}} = \pi (0.8 + 1.2 \cdot 12^{1/3})^2 \text{ fm}^2 = 395 \text{ mb} \quad \left. \begin{array}{l} \\ \end{array} \right\} \lambda_{\text{int}} = 38 \text{ cm}$$

$$\delta_{\text{inel}} \approx 230 \text{ mb}$$

$$\text{Schauergröße} \approx 8-10 \lambda_{\text{int}}$$

Photonen: Lambert - Beersches Gesetz $I = I_0 e^{-\mu x}$
 - Äquivalent nach Schichtdicke \times gegeben durch Absorptionskoeffizient $\mu [\text{cm}^{-1}]$. Nur vom Aggregatzustand weniger abhängig zu sein \rightarrow Flaschenabsorptionskoeff. $\mu' = \mu / \rho [\text{cm}^2/\text{g}]$, dann benutzen von $X = \rho \cdot x$

μ kommt durch Überlagerung von im Wesentlichen 3 Prozessen zu stande

Photofehlt (Einstein 1905) $\gamma + \text{Atom} \rightarrow \text{Atom}^+ + e^-$
 wenn $E_\gamma > I_b$ Bindungsenergie des Elektrons

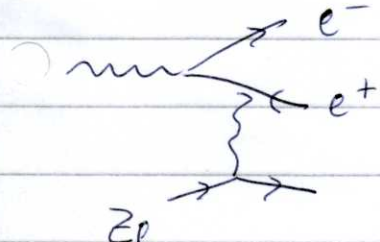
führt zu K, L, ... Absorptionskanten, da I_b stark Z -abhängig, starke Z -Abhängigkeit der Wahrscheinlichkeit für Photoeffekt $\sigma_{ph} \propto Z^5 / E_\gamma^{7/2}$ dominant für $E_\gamma \lesssim 0.1 - 1 \text{ MeV}$ (je nach Z)
Compton-Effekt (Compton 1922) 

$$\frac{1}{E'} - \frac{1}{E} = \frac{1}{m_e c^2} (1 - \cos \vartheta) \leq \frac{2}{m_e c^2}$$

max. Energieverlust wenn Photon rückgestreut wird

Wirkungsquerschnitt aus QED Berechnung (Klein-Nishina) $\sigma_c \propto Z/E_{kin}^2$ Photon-Elektron-Energie dominant für $0.1 - 10 \text{ MeV}$ (kleines Z)
 $1 - 2 \text{ GeV}$ (großes Z)

Paarbildung (Bethe-Heitler) mit e^+e^- im freien Raum nicht möglich, aber in Umgebung eines Atomkerns, der Rückschlag aufweist



Grenzschwelle

$$E_\gamma \gtrsim 2m_e c^2 + 2 \frac{(m_e c^2)^2}{m_K c^2} \gtrsim 1.022 \text{ GeV}$$

Bem.: Feynman Diagramm wie Bremsstrahlung, daher auch Wirkungsquerschnitt
daher taucht auch hier die Stahlungslänge λ_0 auf. Nach typischerweise $\frac{9}{7} \lambda_0$ im Medium umhüllt Photon ein e^+e^- . Bei hoher Energie bildet sich sowohl aus Photon als auch aus Elektron "elektromagnetische Schauer": Photon $\rightarrow e^+e^-$ e^+ und e^- emittieren Bremsstrahlungsfotonen, die machen wieder Paarbildung, --- Ausdehnung: $\approx 10 \lambda_0$

$\Rightarrow F_{1-2}$

Zurück zu Photon: Beiträge der 3 Prozesse addieren sich $\mu = \mu_{pe} + \mu_c + \mu_p \Rightarrow \boxed{\text{Fig 1-3}}$

1.7 Teilchendetektoren

Experimente in der Kern- und Teilchenphysik weisen gestrahlte und produzierte Teilchen nach, bestimmen Puls oder Energie und Identität.

Pulsmessung: Ableitung geladener Teilchen in Magnetfeld durch Lorentzkraft
 Krümmungsradius der Spur $r = \frac{p_\perp}{qB}$
 wobei p_\perp Pulskomponente senkrecht zu B ist.

Spur wird "sichtbar" gemacht in dem man Fokussierung in dünnen Detektoren, die Teilchen praktisch nicht abbremsen, misst.

entweder Gaszähler, wobei Elektronen noch im Gas verstärkt werden durch Sekundärionisation im hohen E -Feld (Trick: Feldliniendichte in der Nähe eines sehr dünnen Drahtes)

Beispiel Vieldrahtproportionalzähler $\Rightarrow \boxed{\text{Fig 1-4}}$
 $\Delta x \approx 200-400 \mu\text{m}$

oder düne Halbleitendetektoren ($\approx 300 \mu\text{m}$ dick)
 auf die durch lithographische Verfahren geeignete Strukturierung werden so daß Signale in schmalen Streifen ($100 \mu\text{m}$) oder Pixeln ($50 \times 100 \mu\text{m}^2$) ausgelerzen werden $\Delta x = 10-20 \mu\text{m}$

Energymessung: für Hadronen hoher Energie (auch neutrale) Absorption eines hadronischen Schauers in einem Kalorimeter; Auslese auch von Ionisationssignalen; Ionisation kann auch in sekundärem Prozess zu Lichtemission (sichtbar!) führen (Strahlungslicht). Dann Lichtausweis

Photonenmessung: Halbleiterdetektor oder Kristalle die strukturen (NaI), bei hoher Energie Absorption eines elektromagnetischen Schauers in einem Kalorimeter.

Teilchenidentifikation: Bestimmung der Masse aus Vergleich von Zepuls und Geschwindigkeit (Flugzeitmessung) oder Zepuls und Gehrige oder Rekonstruktion der inneren Masse aus Zepulsen von Zerfallsprodukten oder spezielle Tricks.